

Final Report of MAE 310

Name: 高银骏 UID: 12111320 Date: 2025.1.12

Question 1

Strong form:

$$(S) \left\{ \begin{array}{l} \text{Given } f_i: \Omega \rightarrow R, g_i: \Gamma_{g_i} \rightarrow R, h_i: \Gamma_{h_i} \rightarrow R, \text{ find } u_i: \bar{\Omega} \rightarrow R, \text{ such that} \\ \sigma_{ij,j} + f_i = 0 \quad \text{in } \Omega \\ u_i = g_i \quad \text{on } \Gamma_{g_i} \\ \sigma_{ij} n_j = h_i \quad \text{on } \Gamma_{h_i} \end{array} \right.$$

Weak form:

$$(W) \left\{ \begin{array}{l} \text{Trial Solution Space } S_i := \{u_i: u_i \in H^1, u_i = g_i \text{ on } \Gamma_{g_i}\} \\ \text{Test Function Space } V_i := \{w_i: w_i \in H^1, w_i = 0 \text{ on } \Gamma_{g_i}\} \\ \text{Given } f_i: \Omega \rightarrow R, g_i: \Gamma_{g_i} \rightarrow R, h_i: \Gamma_{h_i} \rightarrow R, \text{ find } u_i \in S_i, \text{ such that for all } w_i \in V_i \\ \int_{\Omega} w_{(i,j)} \sigma_{ij} d\Omega = \int_{\Omega} w_i f_i d\Omega + \sum_{i=1}^{nsd} \left(\int_{\Gamma_{h_i}} w_i h_i d\Gamma \right) \end{array} \right.$$

Galerkin form:

$$(G) \left\{ \begin{array}{l} \text{Given } f: \Omega \rightarrow R, g: \Gamma_g \rightarrow R, h: \Gamma_h \rightarrow R, \text{ find } \vec{u}^h = \vec{v}^h + \vec{g}^h \in S^h, \text{ such that for all } w^h \in V \\ a(\vec{w}^h, \vec{v}^h) = (\vec{w}^h, \vec{f}) + (\vec{w}^h, \vec{h})_{\Gamma} - a(\vec{w}^h, \vec{g}^h) \\ \text{with } a(\vec{w}, \vec{u}) = \int_{\Omega} w_{(i,j)} c_{ijkl} u_{(k,l)} d\Omega \\ (\vec{w}, \vec{f}) = \int_{\Omega} w_i f_i d\Omega \\ (\vec{w}, \vec{h})_{\Gamma} = \sum_{i=1}^{nsd} \left(\int_{\Gamma_{h_i}} w_i h_i d\Gamma \right) \end{array} \right.$$

Boundary conditions:

对于无限长的板,我们以中心位置为坐标原点建立 o-xy 坐标轴,分析第一象限的情况。分别命名有右边 Line 1, 上边 Line 2, 左边 Line 3, 下边 Line 4。如图 1、2 所示。

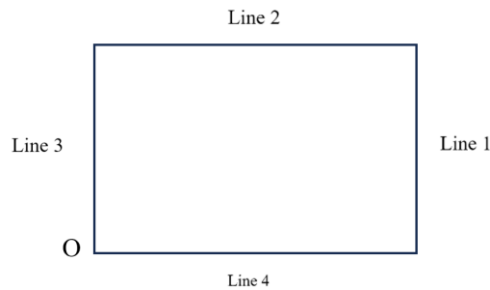


图 1 无限长板的几何分析

欲分析位移,考虑空间维数为 2 ($n_{sd} = 2$), 问题自由度为 2 ($i = 1, 2$), 设自由度 1 为 x 方向, 自由度 2 为 y 方向。

由于板的第一象限与其余象限关于 x 坐标轴和 y 坐标轴的对称性，位于 Line 3 的点的 x 方向不应该有位移，且 x 方向位移的一阶导也为零；位于 Line 4 的点的 y 方向不应该有位移，并且 y 方向位移的一阶导也为零。

设位移为 u ，则由上文对称性的分析可得到部分边界条件，即

$$\begin{aligned} u_x(x=0) &= 0 \\ u_y(y=0) &= 0 \\ u_x'(x=0) &= 0 \\ u_y'(y=0) &= 0 \end{aligned}$$

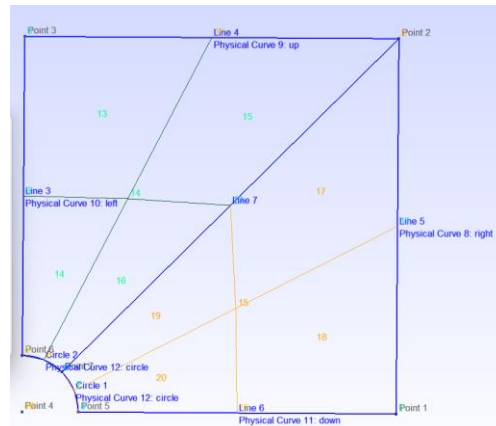


图 2 Mesh1 图例，Line11 是底边，Line10 是左边

Question 2

Implementation 2. 对于每一个节点的 B 梯度矩阵 (B_a 和 B_b)，都应该是 3×2 的维数。则

$$K_{ab}^e \cong \sum_{l=1}^{n_{int}} (B_a^T \tilde{D} B_b)_l$$

先在高斯积分点计算括号项，再组装。循环顺序：L 循环从 1 到 n_{int} ；再 b 循环从 1 到 n_{en} ，期间处理两个自由度；最后是 a 循环从 1 到 b，处理两个自由度。

Question 3

误差分析代码如见 DriverWithoutHoles.m 第 266 行至 324 行，仅完成部分代码，未能成功运行。如图 3、图 4 所示。图 3 是误差的代码，图四是人工构造的解。

```

266 % Error and Convergence
267 % 对每个单元 (循环1) 找单元坐标，每个积分点 (循环2) 计算单元，面所有单元内的节点 (循环3) 计算c
268 % h12 = zeros(1,n_el);
269 % h11 = zeros(1,n_el);
270 % Error terms
271
272 % [xi, eta, weight] = Gauss2D(10, 10);
273 % L2_top = 0.0; L2_bot = 0.0; H1_top = 0.0; H1_bot = 0.0;
274 % for ee = 1 : n_el
275 %   x_ele = x_coord(EN(ee, 1:n_en));
276 %   y_ele = y_coord(EN(ee, 1:n_en));
277 %   u_ele = disp(EN(ee, 1:n_en));
278 %   for ll = 1 : 100
279 %     x_l = 0.0; y_l = 0.0;
280 %     dx_dxi = 0.0; dx_deta = 0.0;
281 %     dy_dxi = 0.0; dy_deta = 0.0;
282 %     uh = 0.0; uh_xi = 0.0; uh_eta = 0.0;
283 %     du_dxi = 0.0;
284 %     for aa = 1 : n_en % 注意u的两个分量
285 %       x_l = x_l + x_ele(aa) * Quad(aa, xi(ll), eta(ll));
286 %       y_l = y_l + y_ele(aa) * Quad(aa, xi(ll), eta(ll));
287 %       u_h = u_h + u_ele(aa) * Quad(aa, xi(ll), eta(ll));
288 %       u_h(1) = u_h(1) + u_ele(aa, 1) * Quad(aa, xi(ll), eta(ll));
289 %       u_h(2) = u_h(2) + u_ele(aa, 2) * Quad(aa, xi(ll), eta(ll));
290 %       [Na_xi, Na_eta] = Quad_grad(aa, xi(ll), eta(ll));
291 %       dx_dxi = dx_dxi + x_ele(aa) * Na_xi;
292 %       dx_deta = dx_deta + x_ele(aa) * Na_eta;
293 %       dy_dxi = dy_dxi + y_ele(aa) * Na_xi;
294 %       dy_deta = dy_deta + y_ele(aa) * Na_eta;
295 %       du_dxi = du_dxi + u_ele(aa, 1) * Na_xi;
296 %       du_deta = du_deta + u_ele(aa, 2) * Na_eta;
297 %     end
298 %   end
299 %   dxi_dx = 1 / dx_dxi;
300 %   deta_dy = 1 / dy_deta;
301 %   detJ = dx_dxi * dy_deta - dx_deta * dy_dxi;
302 %   L2_top = L2_top + weight(ll) * (uh - exact(x_l))^2 * dx_dxi;
303 %   L2_bot = L2_bot + weight(ll) * exact(x_l)^2 * dx_dxi;
304 %

```

图 3 误差计算代码

```

19 - exact = @(x,y) x*(1-x)*y*(1-y);
20 - exact_x = @(x,y) (1-2*x)*y*(1-y);
21 - exact_y = @(x,y) x*(1-x)*(1-2*y);
22 - % 求导
23 - exact_xx = @(x,y) (-2)*y*(1-y);
24 - exact_yy = @(x,y) (-2)*x*(1-x);
25 - exact_xy = @(x,y) (1-2*x)*(1-2*y); %混合导
26 - % 应变 → 应力 → source term, 第一个箭头需要D矩阵, 第二个箭头意思是(exact_xx+exact_yy)*D = -f
27 - fx = @(x,y) ( E / ( 1 - Poisson ^ 2 ))*( 2.0*x*(1-x) + 2.0*y*(1-y)*Poisson ); % source term
28 - fy = @(x,y) ( E / ( 1 - Poisson ^ 2 ))*( 2.0*x*(1-x)*Poisson + 2.0*y*(1-y) ); % source term
29 -

```

图 4 人工构造的解

Code Development

1. Gmsh 和相关说明

文件结构如图 5 所示。

DriverForProject.m	🔍
DriverWithoutHoles.m	🔍
GaoYinjun_Project_Literature.docx	🔄
Gauss.m	🔍
Gauss2D.m	🔍
Mesh1.m	🔍
Mesh2.m	🔍
Mesh3.m	🔍
Mesh4.m	🔍
plateWithHole.geo	🔍
PlateWithHole.m	🔍
Q1.mat	🔍
Quad.m	🔍
Quad_grad.m	🔍
quarter-plate-with-hole-quad.geo	🔍
README.txt	🔍

图 5 文件结构

对同一模型，导出四种不同网格细分度的.m 文件。

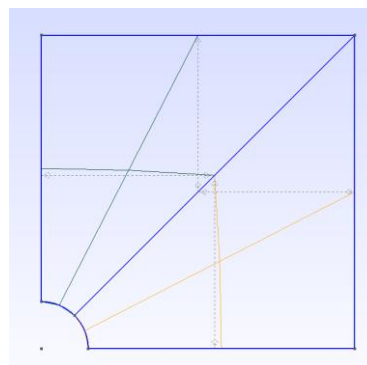


图 6 网格 1

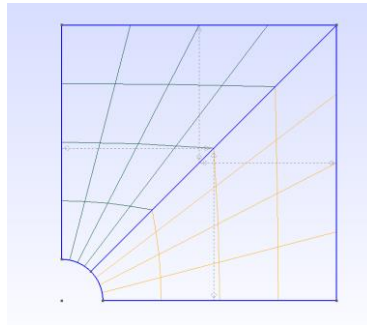


图 7 网格 2

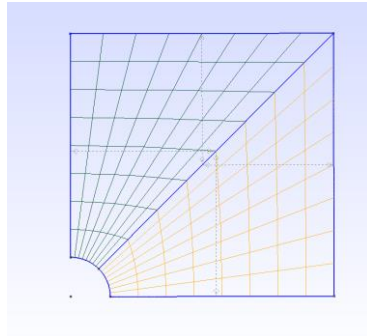


图 8 网格 3

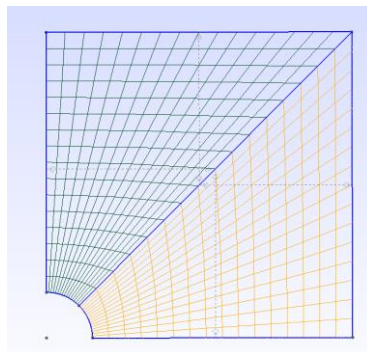


图 9 网格 4

对矩形建立命名选择，分为六个命名，以便给 ID 矩阵赋值。其中有五个曲线：右边 (right)、上边 (up)、左边 (left)、下边 (down)、圆边 (circle)；以及一个虚线包裹的面 (surfaceDashLine)。

```
// EOF
//+
Physical Curve("right", 8) = {5};
//+
Physical Curve("up", 9) = {4};
//+
Physical Curve("left", 10) = {3};
//+
Physical Curve("down", 11) = {6};
//+
Physical Curve("circle", 12) = {1, 2};
//+
Physical Surface("surfaceDashLine", 13) = {2, 1};
```

图 10 给几何形状建立命名选择

2. 边界条件

如图 11 所示



图 11 对称性边界条件

选择边界条件思路：用户可选择为四条边赋予狄利克雷边界条件或纽曼边界条件，每条边应考虑自由度 1 和自由度 2 的具体情况。在 Matlab 中，呈现了不同的、已被注释掉的代码块，我用不同的代码块表征不同的边界条件以供用户选择。代码块 1——右边、代码块 2——上边、代码块 3——左边、代码块 4——下边。在每个代码块，我们可以为其赋予边界条件。若是狄利克雷边界条件，则限制自由度，并且在该自由度的 ID array 中设置为 0。若是纽曼边界条件，则设置一阶导为 g ， g 默认是 0。

3. 平面应力和平面应变选取

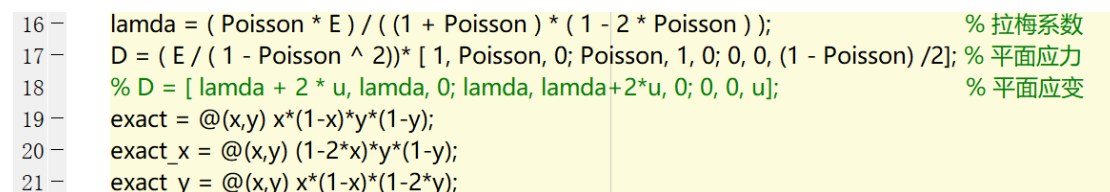


图 12 应力和应变的选取

在 DriverWithoutHoles.m 第 17、18 行和 DriverForProject.m 第 18、19 行有对应力、应变模型的选代码。当前选用平面应力模型。如图 12 所示。

4. 物理参数场

在不额外指定的情况下，取四条边为纽曼边界条件， x 自由度 $g_1=0.03$ ， y 自由度 $g_2=-0.03$ ，则得到图 13 的结果。

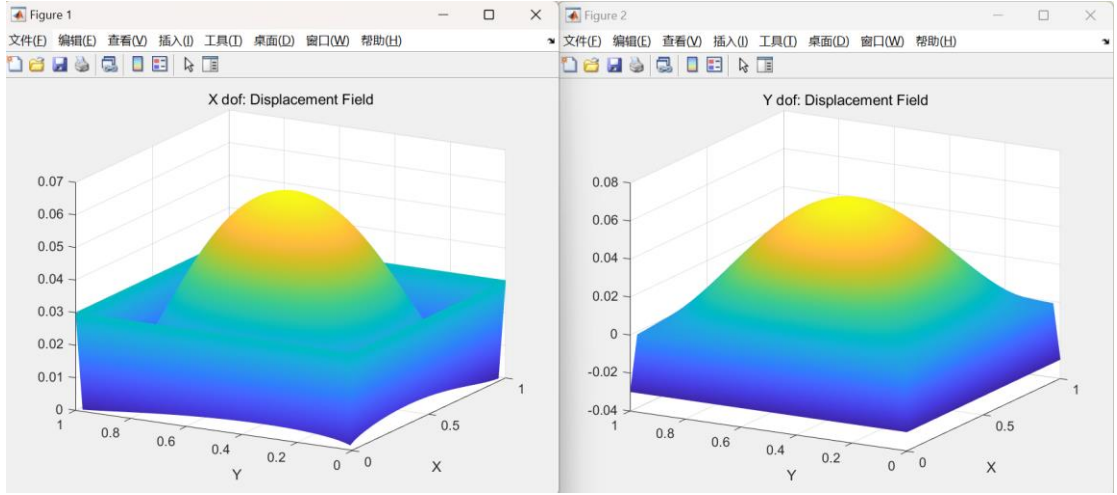


图 13 取四边皆为纽曼边界条件的不同自由度分别的变形（无孔的板）
计算结果因不同的 source term 而不同。

5. 误差分析

代码未能完全实现 L2 和 H1 范数下的误差和收敛分析。

6. 带孔板模型

对于 source term,

理论解

$$\sigma_{rr}(r, \theta) = \frac{T_x}{2} \left(1 - \frac{R^2}{r^2} \right) + \frac{T_x}{2} \left(1 - 4 \frac{R^2}{r^2} + 3 \frac{R^4}{r^4} \right) \cos(2\theta)$$

$$\sigma_{\theta\theta}(r, \theta) = \frac{T_x}{2} \left(1 + \frac{R^2}{r^2} \right) - \frac{T_x}{2} \left(1 + 3 \frac{R^4}{r^4} \right) \cos(2\theta)$$

$$\sigma_{r\theta}(r, \theta) = -\frac{T_x}{2} \left(1 + 2 \frac{R^2}{r^2} - 3 \frac{R^4}{r^4} \right) \sin(2\theta)$$

在孔的圆周，半径 $r = R = 0.5m$ ，则有圆周上有应力值如下

$$\sigma_{\theta\theta}(r, \theta) = \sigma_{\theta\theta}(R, \theta) = \frac{T_x}{2} \left(1 + \frac{R^2}{R^2} \right) - \frac{T_x}{2} \left(1 + 3 \frac{R^4}{R^4} \right) \cos 2\theta = T_x(1 - 2\cos 2\theta)$$

当 $\theta = 30^\circ$ ，应力 $\sigma_{\theta\theta} = 0$ 。

$$\sigma_{\theta\theta} \left(R, \frac{\pi}{6} \right) = T_x(1 - 1) = 0$$

当 $\theta = 90^\circ$ ，应力 $\sigma_{\theta\theta}$ = 最大值。

$$\sigma_{\theta\theta} \left(R, \frac{\pi}{2} \right) = T_x(1 + 2) = 3T_x$$